

CENTRO FEDERAL DE EDUCAÇÃO TECNOLÓGICA DE MINAS GERAIS  
MESTRADO EM MODELAGEM MATEMÁTICA E COMPUTACIONAL

COMPUTAÇÃO EVOLUCIONÁRIA  
PROF. DR. ROGÉRIO MARTINS GOMES

3ª LISTA DE EXERCÍCIOS  
ALGORITMOS GENÉTICOS

Charles Wellington de Oliveira Fortes  
Março de 2016

## Lista de Figuras

Figura 1 - Gráfico de média dos fitness das populações da tarefa 2.....	5
Figura 2 - Gráfico de média dos fitness das populações da tarefa 2.....	5
Figura 3 - Medição de tempo de CPU do experimento da tarefa 2 .....	6
Figura 4 - Tempo de execução do experimento da tarefa 3 .....	6
Figura 5 - População Inicial do Experimento com Mutação Determinística .....	7
Figura 6 - População Final do Experimento usando Mutação Determinística .....	7
Figura 7 - Média de Fitness Usando Mutação Determinística .....	7
Figura 8 - Curvas de Resultado com o Fitness dos Melhores e Piores Indivíduos de cada geração em comparação à média de fitness da geração .....	8
Figura 9 - População Inicial do Experimento com Mutação por Feedback .....	9
Figura 10 - População Final do Experimento com Mutação por Feedback.....	9
Figura 11 - Gráfico de Média de Fitness do Experimento com Mutação por Feedback.....	10
Figura 12 - Curvas de Resultado com o Fitness dos Melhores e Piores Indivíduos de cada geração em comparação à média de fitness da geração .....	10
Figura 13 - População Inicial do Experimento com Mutação Auto Adaptativa .....	12
Figura 14 - População Final do Experimento com Mutação Auto Adaptativa .....	12
Figura 15 - Média de Fitness da População do Experimento com Mutação Auto Adaptativa.....	13
Figura 16Curvas de Resultado com o Fitness dos Melhores e Piores Indivíduos de cada geração em comparação à média de fitness da geração .....	13
Figura 17 - Comparativo entre as Médias dos Experimentos por Tipo de Mutação.....	15

## Sumário

1.	Consideração sobre o desenvolvimento do trabalho .....	4
2.	Desenvolvimento: Representação Real vs Binária .....	4
2.1	Diferença no resultado das mutações e do crossover na representação Binária e Real .....	4
2.2	Diferença de Desempenho computacional entre Binário e Real .....	5
3.	Avaliação dos Experimentos .....	6
3.1	Mutação Determinística .....	6
3.2	Mutação por Feedback .....	8
3.3	Mutação Auto-Adaptativa .....	11
4.	Conclusão .....	15

## 1. Consideração sobre o desenvolvimento do trabalho

Para o desenvolvimento do trabalho foi criado um programa usando a linguagem de programação C# na plataforma .NET da Microsoft.

O trabalho foi desenvolvido usando como base a tarefa 2 entregue anteriormente para esta disciplina, onde os indivíduos foram alterados para possuírem representação real ao invés de representação binária, além dos ajustes das funções para atender tanto a nova representação quanto às solicitações feitas no enunciado do trabalho.

Apesar das N execuções dos experimentos, devido a semelhança entre os resultados, serão listados apenas 1 resultado de cada tipo de experimento.

Os itens comparativos entre a implementação Real e Binária foram executados utilizando os mesmo valores de parâmetro de configuração e as mesmas funções de crossover, avaliação, mutação e seleção, sendo a única diferença a representação dos cromossomos.

Todos os experimentos representados neste relatório foram concluídos com todos os elementos da população atingindo o valor ótimo da função.

## 2. Desenvolvimento: Representação Real vs Binária

O desenvolvimento do código do experimento usando representação por números reais é muito mais simples do que o desenvolvimento utilizando representação binária para os indivíduos.

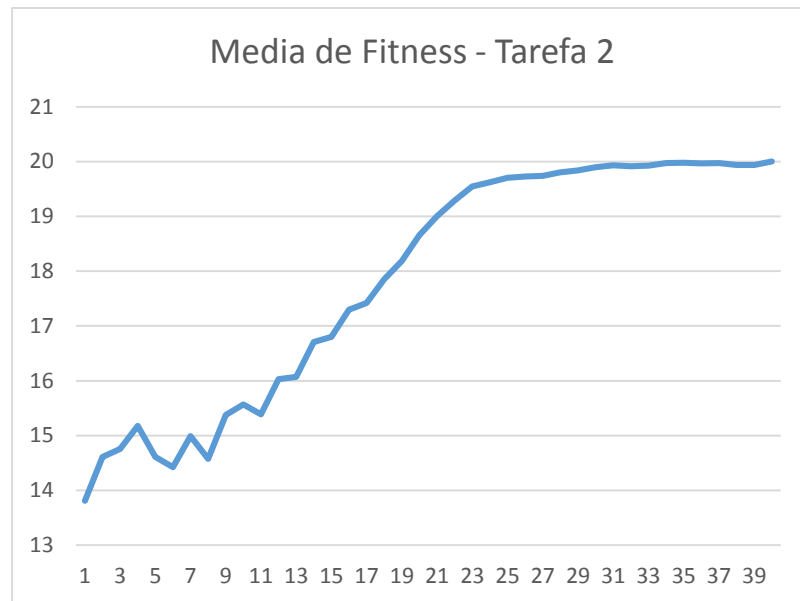
É facilmente percebida a facilidade em trabalhar com as propriedades que representam os genes, uma vez que não são necessárias conversões entre binário e real, e as iterações dentro dos genes fica muito mais simples.

As funções de avaliação, crossover e mutação também apresentam melhor legibilidade quando usando valores reais para representação, simplificando o entendimento.

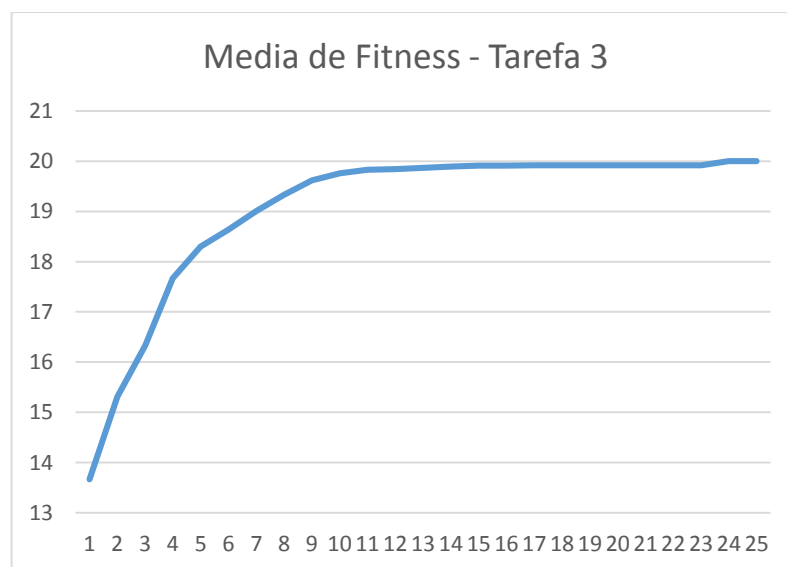
Durante a execução de múltiplos experimentos, ou elevando o número de gerações para 10 ou 100 vezes o valor proposto no trabalho, é perceptível o ganho do tempo de execução do experimento.

### 2.1 Diferença no resultado das mutações e do crossover na representação Binária e Real

Ao observar o cruzamento e a mutação nos indivíduos com representação binária, vemos um impacto maior nos descendentes, pois um bit trocado de 0 para 1 (e vice-versa) pode representar um salto grande de valor, enquanto nas técnicas usadas no trabalho com representação real apresenta uma variação mais suave dos genes, representando uma variação mais suave da população que pode ser vista ao compararmos as curvas dos gráficos que representam as médias de fitness das gerações dos experimentos da tarefa 2 (Figura 1) e da tarefa 3 (Figura 2).



*Figura 1 - Gráfico de média dos fitness das populações da tarefa 2. Todos os indivíduos atingiram o valor ótimo na 39ª geração.*



*Figura 2 - Gráfico de média dos fitness das populações da tarefa 2. Todos os indivíduos atingiram o valor ótimo na 25ª geração.*

## 2.2 Diferença de Desempenho computacional entre Binário e Real

Para medição do desempenho computacional foi utilizado o recurso de análise nativo da IDE Microsoft Visual Studio 2013 – “Performance and Diagnostics”, obtendo os resultados que apontam o consumo de 400ms (Figura 4) de CPU para o processamento da representação em real contra 492ms (Figura 3) para representação em binário.

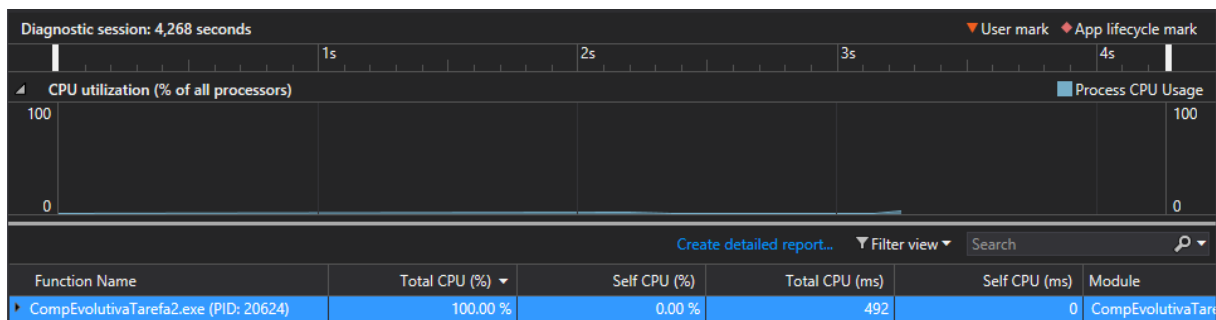


Figura 3 - Medição de tempo de CPU do experimento da tarefa 2

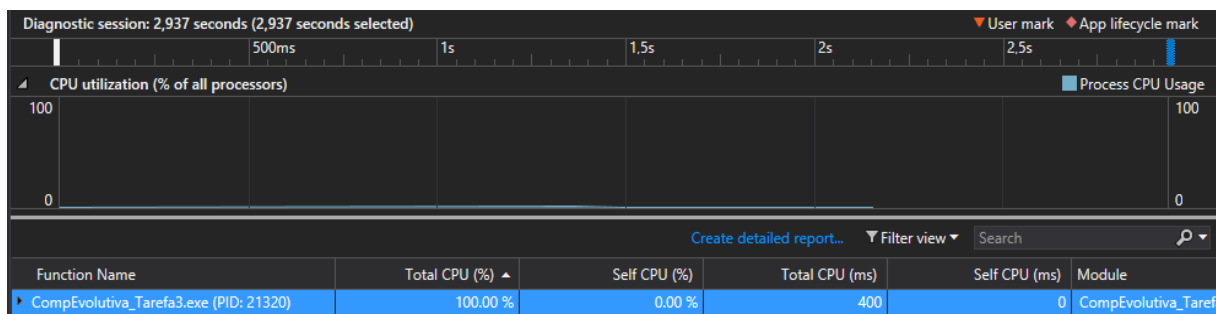


Figura 4 - Tempo de execução do experimento da tarefa 3

### 3. Avaliação dos Experimentos

#### 3.1 Mutação Determinística

O uso de mutação determinística durante o desenvolvimento da tarefa, demonstra que a redução progressiva da taxa de mutação durante a evolução da população, faz com que a dispersão dos indivíduos em gerações mais avançadas (geralmente causadas pela mutação) seja menor.

Ao analisarmos os gráficos com os valores de fitness, verificamos que com este modelo, o nível de evolução é bem alto nas gerações iniciais e elas vão estabilizando conforme o experimento avança (Figura 7). Além disto é possível observar que os valores de mutação baixo fazem com que os piores indivíduos da população avancem de forma mais uniforme aos valores ótimos quando comparado aos outros experimentos (Figura 8) testados neste trabalho.

Como efeito colateral, em comparação aos outros experimentos, a população (Figura 5) levou um maior número de gerações (47 gerações) até que todos os indivíduos atingisse o valor ótimo da função (Figura 6).

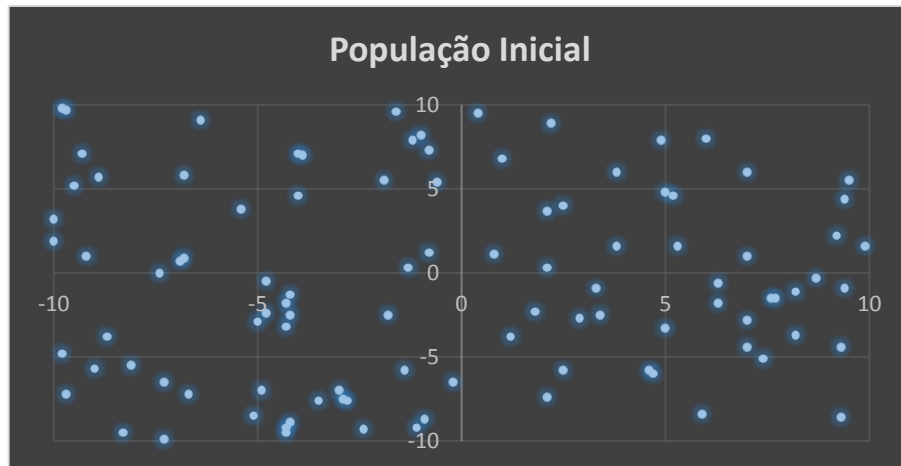


Figura 5 - População Inicial do Experimento com Mutação Determinística



Figura 6 - População Final do Experimento usando Mutação Determinística

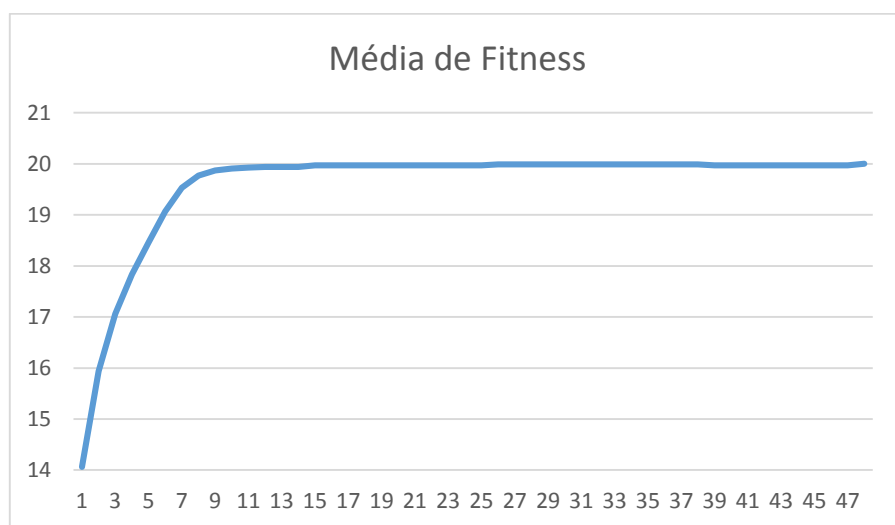


Figura 7 - Média de Fitness Usando Mutação Determinística

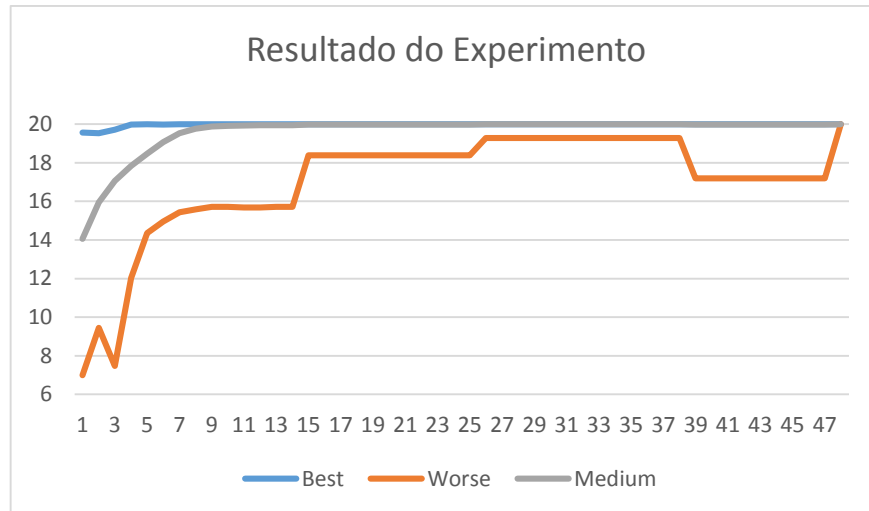


Figura 8 - Curvas de Resultado com o Fitness dos Melhores e Piores Indivíduos de cada geração em comparação à média de fitness da geração

```

225 public static void DeterministicMutation(List<double[]> offsprings)
226 {
227     var rnd = new Random((int)DateTime.Now.Ticks);
228     _deterministicMutationFactor = 0.01 - 0.009 * _currentGeneration / Parameters.MaxGenerations;
229
230     foreach (var cromossome in offsprings)
231     {
232         for (var gene = 0; gene < cromossome.Length; gene++)
233         {
234             var testNumber = rnd.NextDouble();
235             var apply = testNumber < _deterministicMutationFactor;
236             if (apply)
237                 cromossome[gene] = rnd.Next(Parameters.MinReal, Parameters.MaxReal);
238         }
239     }
240 }

```

Figura 9 - Código C# da Mutação Determinística Usada na Tarefa

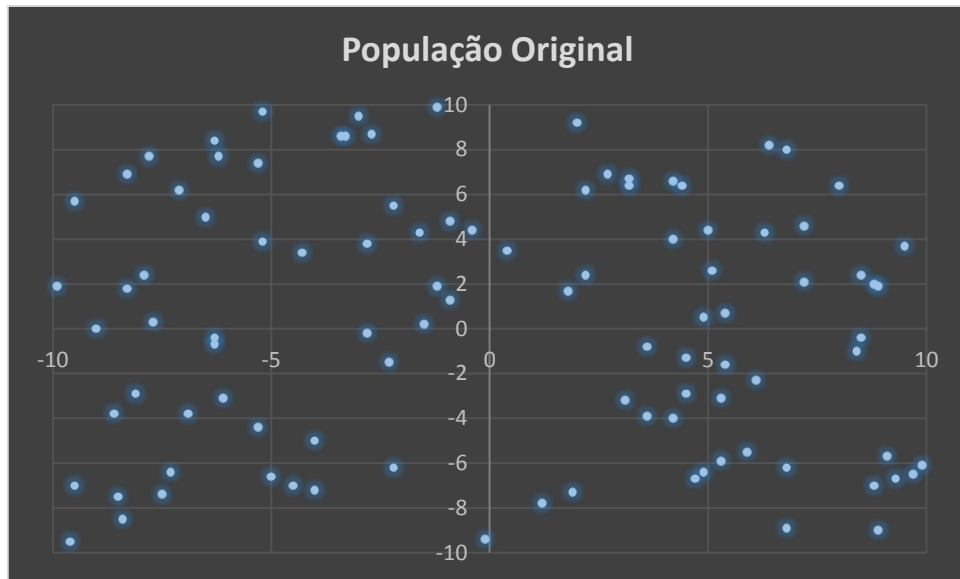
### 3.2 Mutação por Feedback

Com a mutação por feedback, é possível verificar que o algoritmo no decorrer da evolução, vai progressivamente reduzindo a taxa de mutação da população.

No início do experimento é possível ver o impacto das diferentes taxas de mutação ao observarmos os fitness dos piores indivíduos (Figura 13). Com o passar das gerações a influência de taxas de mutações não ideais vão sendo reduzidos, fazendo com que nas gerações finais as variações sejam mais controladas.

Neste modelo todos os indivíduos da população atingiram o ponto ótimo da função em menos gerações do que na versão determinística, porém a curva de evolução observada pela média de fitness com mutação por feedback (Figura 12) é maior do que a observada na determinística (Figura 7).





*Figura 10 - População Inicial do Experimento com Mutação por Feedback*



*Figura 11 - População Final do Experimento com Mutação por Feedback*

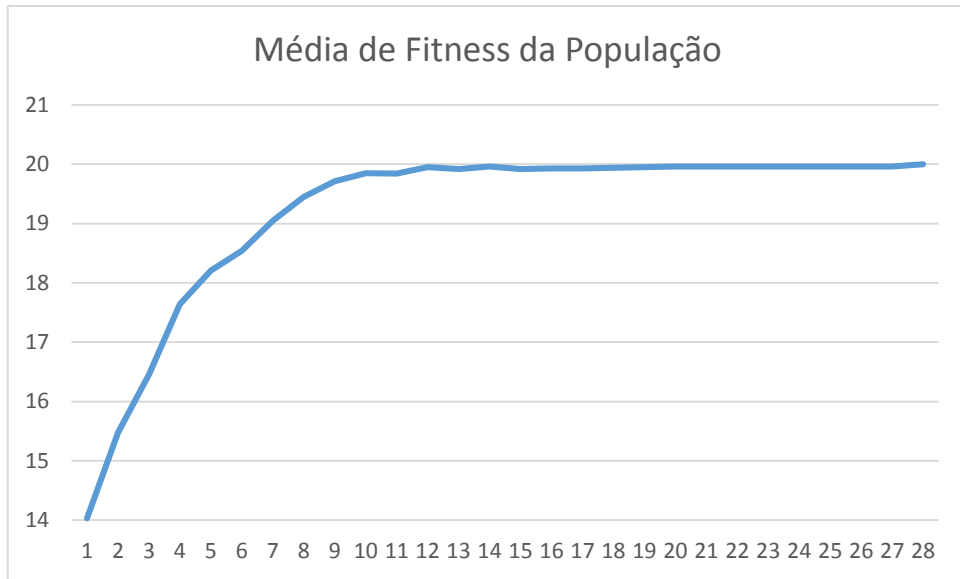


Figura 12 - Gráfico de Média de Fitness do Experimento com Mutação por Feedback.



Figura 13 - Curvas de Resultado com o Fitness dos Melhores e Piores Indivíduos de cada geração em comparação à média de fitness da geração

```

242 public static void FeedbackMutation(List<double[]> offsprings)
243 {
244     var rnd = new Random((int)DateTime.Now.Ticks);
245     var notMutatedPopulation = new List<double[]>(offsprings);
246     var mutatedPopulation = new Dictionary<int, double[]>();
247
248     for (var i = 0; i < offsprings.Count; i++)
249     {
250         for (var gene = 0; gene < offsprings[1].Length; gene++)
251         {
252             var testNumber = rnd.NextDouble();
253             var apply = testNumber < _deterministicMutationFactor;
254
255             if (apply)
256             {
257                 offsprings[1][gene] = rnd.Next(Parameters.MinReal, Parameters.MaxReal);
258                 if (!mutatedPopulation.ContainsKey(i))
259                     mutatedPopulation.Add(i, offsprings[1]);
260             }
261         }
262     }
263
264     var successFactor = getMutationSuccessFactor(notMutatedPopulation, mutatedPopulation);
265
266     if (successFactor > 0.2)
267         _deterministicMutationFactor /= (rnd.Next(817, 1000) / 1000.0); //Numero aleatorio entre 0.817 e 1
268     else if (successFactor < 0.2)
269         _deterministicMutationFactor *= (rnd.Next(817, 1000) / 1000.0); //Numero aleatorio entre 0.817 e 1
270
271 }

```

Figura 14 - Código C# da Mutação por Feedback

```

273 private static double getMutationSuccessFactor(List<double[]> notMutatedPopulation, Dictionary<int, double[]> mutatedPopul
274 {
275     var totalMutated = mutatedPopulation.Count;
276     var sucess = 0;
277
278     if (totalMutated == 0)
279         return 1;
280
281     foreach (var mutant in mutatedPopulation)
282     {
283         //fitness do individuo após a mutação
284         var mutantEvaluation = EvaluatePopulation(new List<double[]> {mutant.Value}).First().Item2;
285
286         //fitness do individuo antes da mutação
287         var originalEvaluation = EvaluatePopulation(new List<double[]> {notMutatedPopulation[mutant.Key]}).First().Item2;
288
289         //se for melhor incrementa o sucesso
290         if (mutantEvaluation > originalEvaluation)
291             sucess++;
292     }
293     return sucess/totalMutated;
294 }

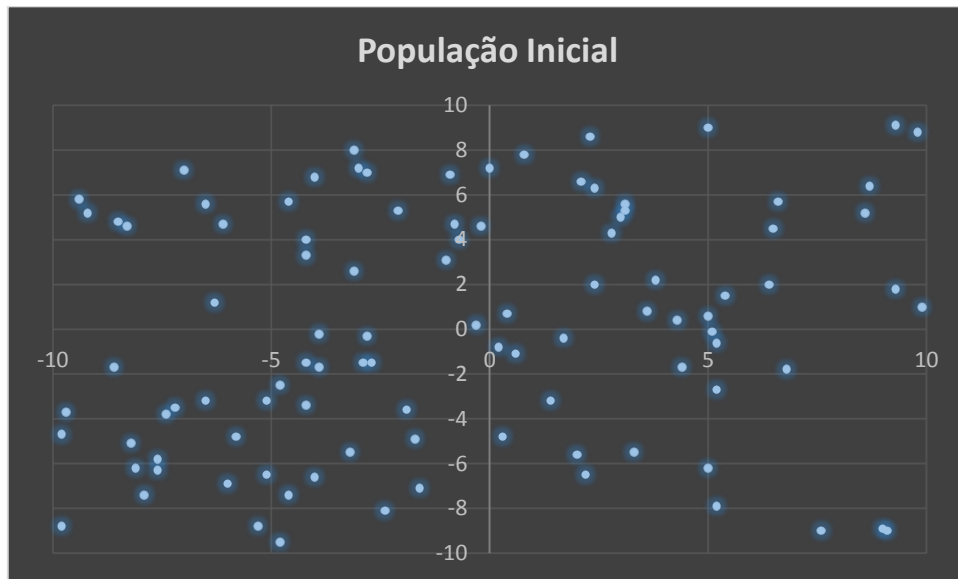
```

Figura 15 - Código C# pra Avaliação de Sucesso da Mutação

### 3.3 Mutação Auto-Adaptativa

De todas as implementações, esta foi a de maior complexidade. Durante a execução de experimentos com esta configuração foi percebido que os melhores indivíduos de cada geração tendem a assumir valores iguais ou muito aproximados de mutação.

Além disto foi observado que os melhores indivíduos de cada população não necessariamente eram os com a maior ou com a menor taxa de mutação. Porém ao observarmos as curvas dos piores indivíduos (Figura 19) e as comparar com os outros experimentos usando mutações determinísticas e por feedback, vemos que estes fatores mais contribuem para a geração dos piores indivíduos da população do que atrapalham os melhores indivíduos (não foi usado elitismo durante o trabalho).



*Figura 16 - População Inicial do Experimento com Mutação Auto Adaptativa*



*Figura 17 - População Final do Experimento com Mutação Auto Adaptativa*

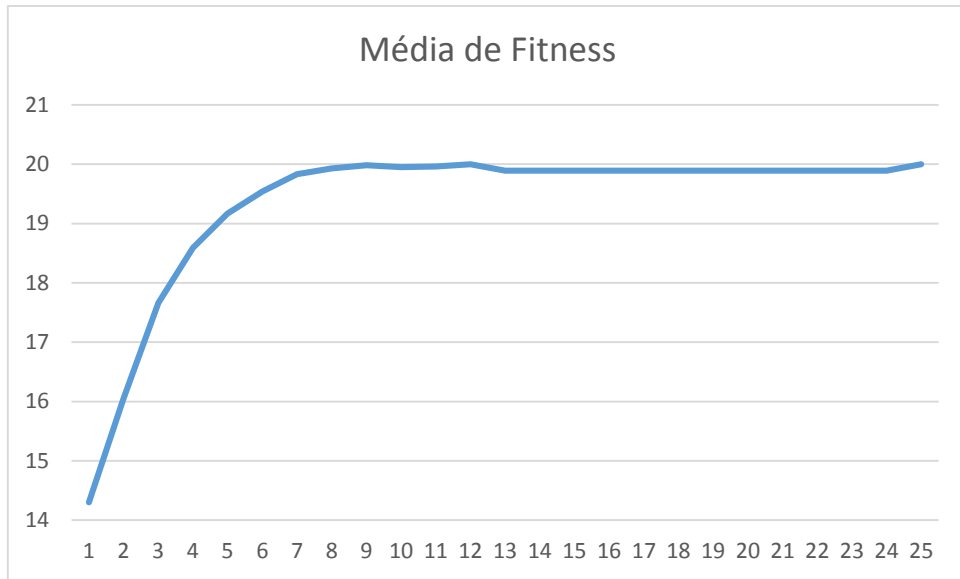


Figura 18 - Média de Fitness da População do Experimento com Muta  o Auto Adaptativa



Figura 19 Curvas de Resultado com o Fitness dos Melhores e Piores Indiv duos de cada gera  o em compara  o   m dia de fitness da gera  o

```

197 public static void AutoAdaptativeMutation(List<double[]> offsprings)
198 {
199     var rnd = new Random((int)DateTime.Now.Ticks);
200
201     foreach (var cromossome in offsprings)
202     {
203         var i = cromossome.Length - 1;
204         var mutationFactor = cromossome[i];
205
206         for (var gene = 0; gene < Parameters.NumberOfDimensions; gene++)
207         {
208             var testNumber = rnd.NextDouble();
209             var apply = testNumber < mutationFactor;
210             if (apply)
211                 cromossome[gene] = rnd.Next(Parameters.MinReal, Parameters.MaxReal);
212         }
213
214         var testMutatuionNumber = rnd.NextDouble();
215         var applyNewMutation = testMutatuionNumber < mutationFactor;
216
217         if (!applyNewMutation) continue;
218
219         //Gera um fator para exponenciação que possa ser negativo ou positivo
220         var factor = (rnd.Next(0, 400)-200.0) / 100;
221         cromossome[i] = Math.Pow(cromossome[i] * 100, factor) / 100;
222     }
223 }
224

```

Figura 20 - Código C# para Mutação Auto-Adaptativa

## 4. Conclusão

Como conclusão, apesar das diferentes formas de implementação, pude verificar que as mais diversas formas de mutação nos permitem atingir os resultados esperados, porém com diferentes impactos sobre a população.

Durante as execuções dos experimentos para o problema apresentado, a ideia de reduzir a incidência de mutação na população nas gerações mais avançadas demonstrou assertiva. Dentre as opções verificadas, a determinística demonstra ser a que mais demora para fornecer os objetivos. Já o ajuste por feedback na mutação parece ser o mais flexível aos mais diversos cenários. Sendo que o melhor resultado parece ter sido atingido pela função auto-adaptativa, por ter tido o resultado ótimo de todos os indivíduos da população atingido com menos gerações e ter tido uma curva média mais homogênea (Figura 21).

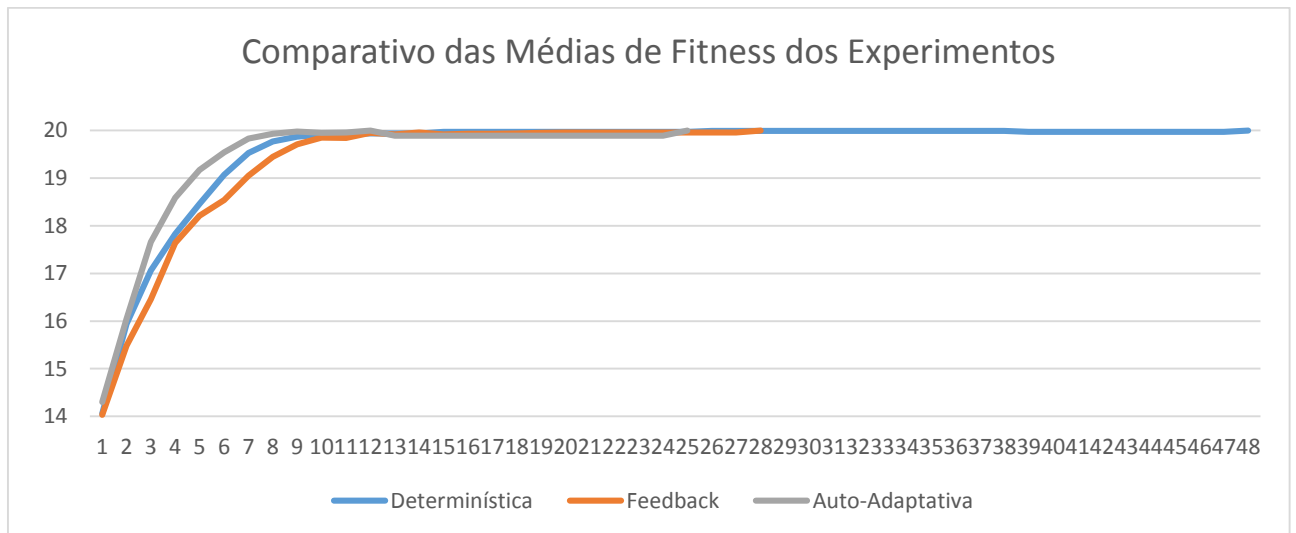


Figura 21 - Comparativo entre as Médias dos Experimentos por Tipo de Mutação